

ЛИТЕРАТУРА

1. Судакас, Л. Г. Фосфатные вяжущие системы. – СПб.: РИА «Квинтет», 2008. – 260 с.
2. Wagh, A. S. Chemically bonded phosphate ceramics. – USA: Elsevier, 2004. – 284 p.
3. Лапко, К. Н. Применение твердых фосфатных связующих в качестве компонентов сухих строительных смесей для получения термостойких функциональных композиционных материалов / К. Н. Лапко, Н. С. Апанасевич, Т. Н. Шульга, А. Н. Кудлаш, Н. Н. Галеева // Международное аналитическое обозрение «ALITinform». – 2015. – № 2 (39). – С. 78-83.
4. Apanasevich, N. Phosphate ceramics – carbon nanotubes composites: liquid aluminum phosphate vs solid magnesium phosphate binder / N. Apanasevich, A. Sokol, K. Lapko, A. Kudlash, V. Lomonosov, A. Plyushch, P. Kuzhir, J. Macutkevic, J. Banys, A. Okotrub // Ceramics International. – 2015. - № 41. – Р. 12147-12152.

УДК 539.21:[548.0+537.6]

Г.С. Римский, С.Н. Магонов
(НПЦ НАН Беларусь по материаловедению, г. Минск)

СИНТЕЗ, КРИСТАЛИЧЕСКАЯ СТРУКТУРА И УДЕЛЬНАЯ НАМАГНИЧЕННОСТЬ $Mn_{1-x}Fe_xNiGe$ ($0,05 \leq x \leq 0,30$)

Введение. Интерметаллические сплавы и твердые растворы, которые обладают магнитоструктурными фазовыми переходами, представляют интерес для теории и практики благодаря наличию таких эффектов как, магнитосопротивление, магнитокалорический эффект, магнитострикция. Фазовые превращения, в первую очередь, связаны с изменением плотности электронных состояний вблизи поверхности Ферми. Изменение плотности электронных состояний определяет анизотропную деформацию кристаллической решетки. В связи с этим исследование особенностей деформации элементарной кристаллической ячейки, изменение параметров ячейки под воздействием температуры, давления, легирования является важным для понимания механизма фазовых превращений. Сплавы и твердые растворы на основе MnNiGe являются удобными модельными объектами изучения статических и динамических искажений кристаллической решетки, поскольку в них реализуются магнитоструктурные превращения, как первого, так и второго рода.

Цель работы – синтез поликристаллических твердых растворов

$Mn_{1-x}Fe_xNiGe$ ($0,05 \leq x \leq 0,30$), изучение особенностей их кристаллического упорядочения и удельной намагниченности.

Методы эксперимента. Образцы поликристаллических порошков получены методом прямого сплавления исходных компонентов в вакуумированных кварцевых ампулах в однозонной печи сопротивления с последующей закалкой в воде. Фазовый состав и параметры элементарной кристаллической ячейки синтезированных составов определены с использованием рентгенограмм в $Cu K\alpha$ -излучении, полученных при комнатной температуре. Температурные зависимости удельной намагниченности изучены пондеромоторным методом в магнитном поле с индукцией 0,86 Тл в интервале температур $80 \leq T \leq 700$ К.

Результаты эксперимента. На рис. 1 представлены рентгенограммы образцов твердых растворов $Mn_{1-x}Fe_xNiGe$ составов $x = 0,05; 0,1; 0,15; 0,2; 0,25, 0,3$ в диапазоне углов $20^\circ \leq 2\Theta \leq 90^\circ$.

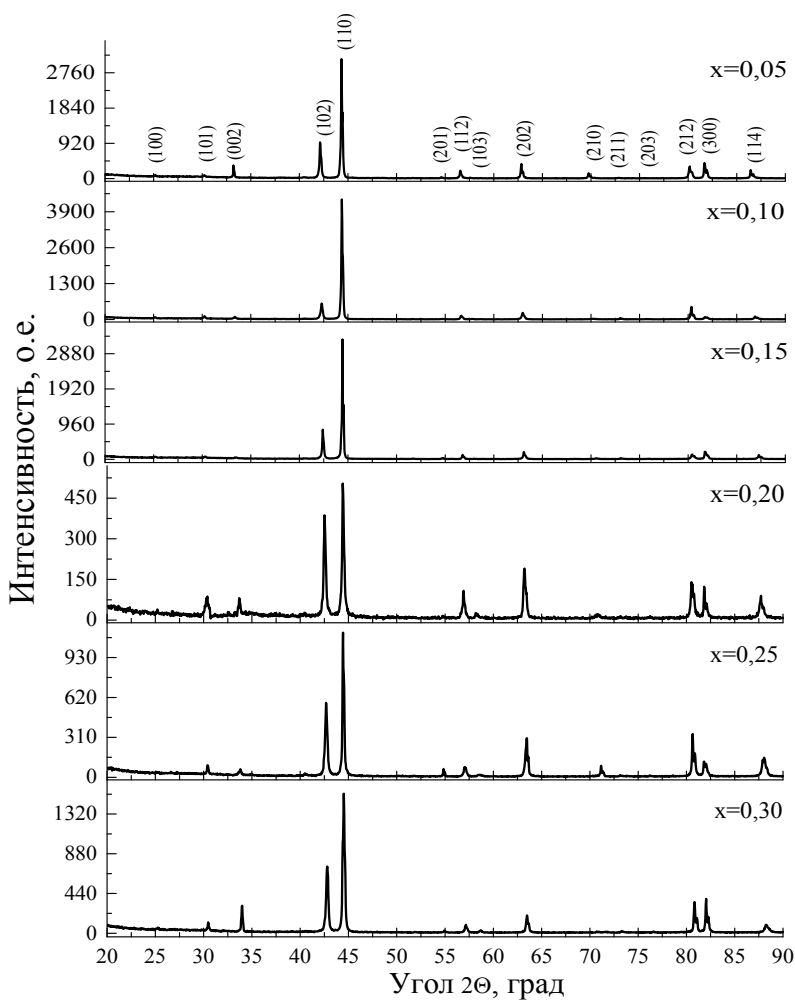


Рисунок 1 – Рентгенограммы порошковых образцов $Mn_{1-x}Fe_xNiGe$ составов $x = 0,05; 0,10; 0,15; 0,2; 0,25, 0,3$

Анализ рентгенограмм показал, на кристаллическую однофазность синтезированных составов. Установлено, что образцы $Mn_{1-x}Fe_xNiGe$ ($0,05 \leq x \leq 0,30$) обладают гексагональной кристаллографической структурой типа Ni_2In ($B8_2$) пространственной группы $P6_3/mmc$ (D_{6h}^4). Все дифракционные рефлексы рентгенограмм проиндцированы, как (100), (101), (002), (102), (110), (201), (112), (103), (202), (210), (211), (203), (212), (300), (114) в указанной структуре. Имеет место плавное изменение угловых положений дифракционных рефлексов и перераспределение их интенсивностей в интервале концентраций $0,05 \leq x \leq 0,30$. Использованы дифракционные рефлексы (201), (112), (103), (202), (210), (211), (212), (300), (114) для определения параметров элементарных ячеек (таблица 1). В таблице 1 приведены значения параметров a и c , соотношения осей c/a , величины объемов элементарных ячеек V и рентгеновская плотность ρ_{ren} порошков $Mn_{1-x}Fe_xNiGe$

Таблица 1. Численные значения параметров a и c , соотношения осей c/a , величины объемов элементарных ячеек V и рентгеновская плотность ρ_{ren} порошков $Mn_{1-x}Fe_xNiGe$

x	$a, \text{нм}$	$c, \text{нм}$	c/a	$V, 10^{-2} \text{ нм}^3$	$\rho_{ren} (\text{г}/\text{см}^3)$
0,05	0,409	0,535	1,31	6,732	9,189
0,1	0,408	0,535	1,31	6,694	9,244
0,15	0,408	0,534	1,31	6,665	9,286
0,2	0,407	0,534	1,31	6,651	9,308
0,25	0,407	0,533	1,31	6,623	9,349
0,3	0,406	0,529	1,30	6,571	9,426

Температурные зависимости удельной намагниченности составов $0,05 \leq x \leq 0,30$ представлены на рис. 2. и рис. 3.

Из приведенных на рис. 2 и рис. 3 зависимостей $\sigma=f(T)$ следует, что имеет место проявление магнитного гистерезиса вблизи температуры фазового превращения «магнитный порядок – магнитный беспорядок». Значения удельной намагниченности при 80К и температуры разрушения упорядоченного магнитного состояния в системе $Mn_{1-x}Fe_xNiGe$ представлены в таблице 2.

Таблица 2. Значения удельной намагниченности при 80 К, температуры Кюри и средних магнитных моментов $Mn_{1-x}Fe_xNiGe$.

x	Намагниченность, $\text{Гс}\cdot\text{см}^{3\cdot\text{г}^{-1}}$	T_C, K	μ_{80K}, μ_B
0,05	13,7	272	0,45
0,10	34,5	183	1,15
0,15	36,1	147	1,20
0,20	30,1	134	1,02
0,25	20,4	133	0,68
0,30	13,9	132	0,46

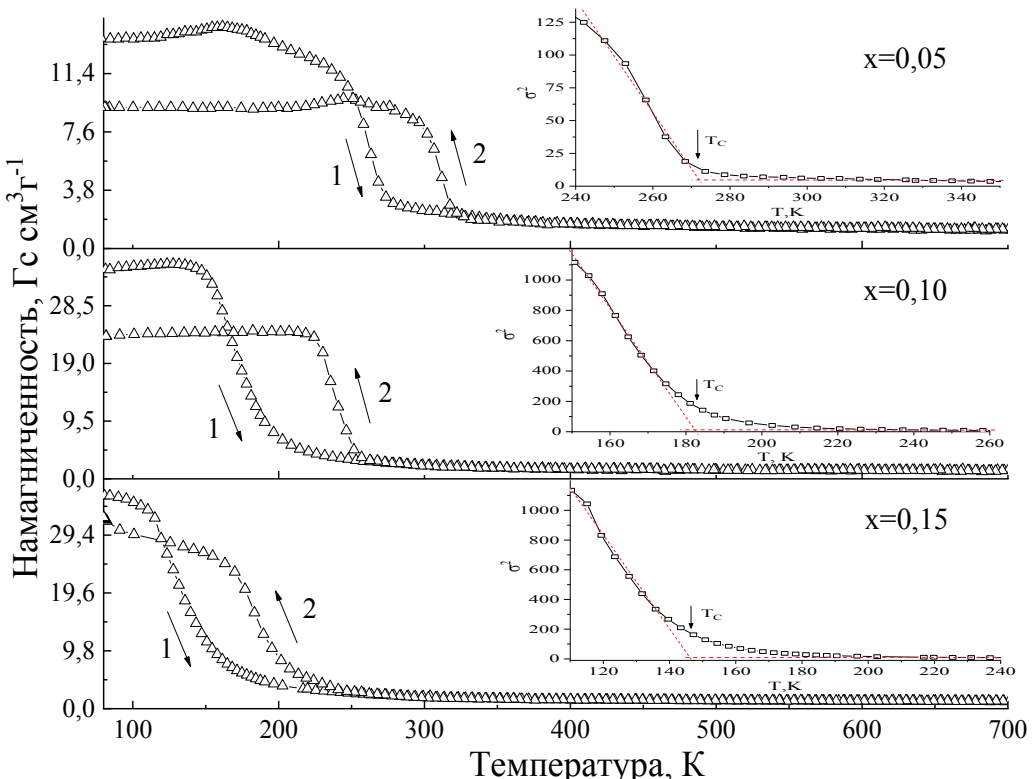


Рисунок 2 – Температурные зависимости намагниченности образцов $Mn_{1-x}Fe_xNiGe$ составов $x = 0,05; 0,10; 0,15$ при нагреве (1) и охлаждении (2). На вставке приведены зависимости $\sigma^2=f(T)$, для определения температур Кюри.

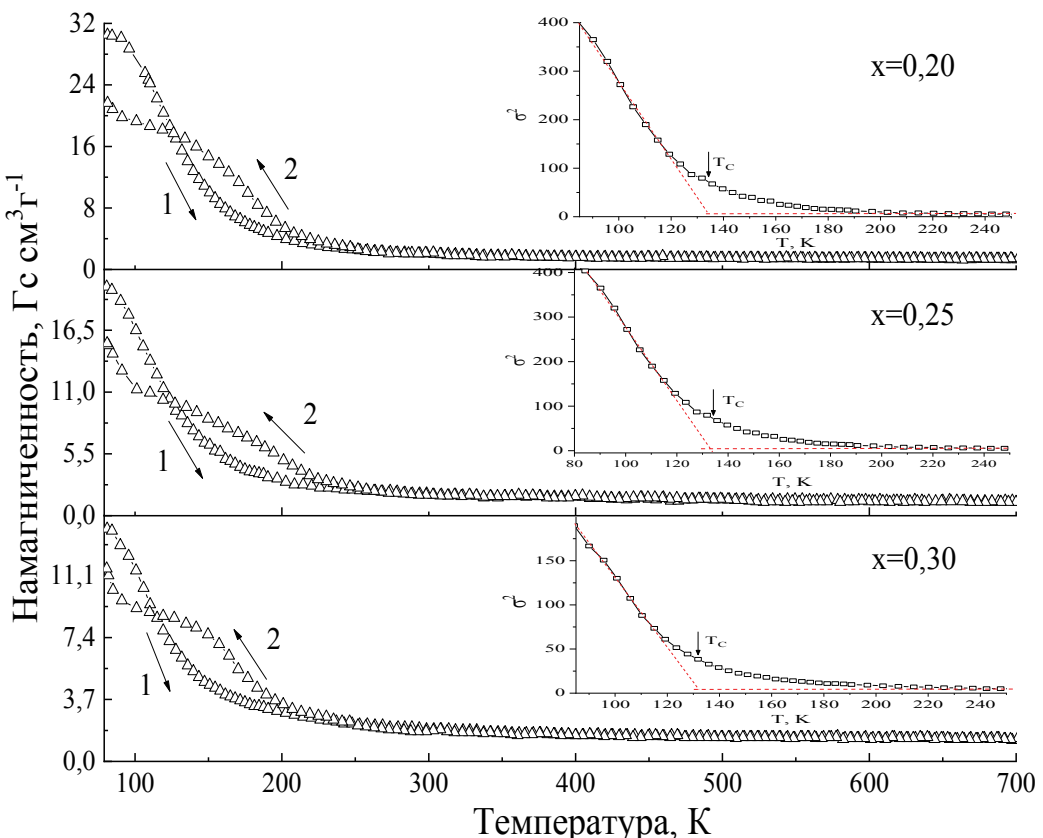


Рисунок 3 – Температурные зависимости намагниченности образцов $Mn_{1-x}Fe_xNiGe$ $x = 0,20; 0,25; 0,30$ при нагреве (1) и охлаждении (2). На вставке приведены зависимости $\sigma^2=f(T)$, для определения температур Кюри.

Выводы. На основе результатов проведенных экспериментов определены: сингония и пространственная группа, параметры и объём элементарной ячейки, рентгеновская плотность исследуемых составов в порошковом состоянии. Установлено, что с увеличением концентрации x параметры элементарной ячейки a и c уменьшаются. Размеры решетки составов концентраций $x = 0,20$ и $x = 0,25$ [1, 2] согласуются с результатами более ранних исследований.

Из приведенной таблицы 2 видно, что с увеличением концентрации железа, температура Кюри уменьшается. Объяснение зависимости удельной намагниченности и температуры Кюри системы $Mn_{1-x}Fe_xNiGe$ от концентрации, ставит задачу исследования структуры и магнитных свойств системы с помощью нейтронографического анализа.

Работа выполнена в рамках гранта на выполнение научно-исследовательских работ докторантами, аспирантами и соискателями Национальной академии наук Беларуси (№2018-26-027).

ЛИТЕРАТУРА

1. Fjellvag H., Andresen A.F. On the crystal structure and magnetic properties of MnNiGe // J. Magn. & Magn. 1985. V. 50. PP. 291–297
2. Liu E., Feng L., Wang W., Li G., Feng L., Zhang H., Wu G. Stable magnetostructural coupling with tunable magnetoresponsive effects in hexagonal ferromagnets // Nature Communications. 2012. V. 3 P. 873
3. Dutta P., Pramanick S., Venkateshwarlu D., Ganesan V., Majumdar S., Das D., Chatterjee1 S. Spin-glass-like ground state and observation of exchange bias in $Mn_{0,8}Fe_{0,2}NiGe$ alloy // EPL. 2014. V.108. P. 17012.
4. Dutta P., Pramanick S., Majumdar S., Das D., Chatterjee S. Multi-functional behavior of Fe-doped MnNiGe magnetic equiatomic compound // J. Magn. & Magn. Mat. 2015. V. 395. PP. 312–315.

УДК 661

3.А. Готто, науч. сотр., И.И. Гончарик, канд. техн. наук, ст. науч. сотр., В.В. Шевчук, член-корр., д-р хим. наук, Е.О. Осипова, науч. сотр., А.Л. Навныко, мл. науч. сотр., Д.А. Конёк, науч. сотр.
(ГНУ «ИОНХ НАН Беларусь», г. Минск)

РЕГЕНЕРАЦИЯ ТРИЭТАНОЛАМИНА ПРИ КОНВЕРСИИ ХЛОРИДА КАЛИЯ И ФОСФОГИПСА

Известно, что сульфат калия является высококонцентрированным удобрением, содержащим от 48 до 53% K_2O и около 18% серы и имеющим устойчивый спрос на мировом рынке. Он может быть получен при переработке природных сульфатно-калийных руд (кизеритовые харт-зальцы, каинито-лангбейнитовые руды), а также способами